

Math-Net.Ru

Общероссийский математический портал

В. И. Самсонов, Выпучивание композитных цилиндрических оболочек при динамическом нагружении, *Исслед. по теор. пластин и оболочек*, 1992, выпуск 25, 121–129

Использование Общероссийского математического портала Math-Net.Ru подразумевает, что вы прочитали и согласны с пользовательским соглашением

<http://www.mathnet.ru/rus/agreement>

Параметры загрузки:

IP: 178.205.19.235

7 июня 2024 г., 16:17:36



ВЫПУЧИВАНИЕ КОМПОЗИТНЫХ ЦИЛИНДРИЧЕСКИХ ОБОЛОЧЕК ПРИ ДИНАМИЧЕСКОМ НАГРУЖЕНИИ

В ряде работ [1, 2, 3] на основе структурного подхода, который дает возможность предсказать свойства КМ в зависимости от его конструкционных параметров, были построены разрешающие уравнения изгиба, устойчивости и колебаний слоистых композитных оболочек, которыми также можно описать поведение подкрепленных продольным и поперечным наборами (а также гладких однослойных) армированных оболочек [1]. Заложенные в основу построения расчетных моделей кинематические гипотезы согласуются с физическими уравнениями состояния и обеспечивают условия непрерывности не только основных перемещений по высоте пакета, но и касательных усилий. При этом учтены характерные для КМ сдвиговые особенности деформирования, а использование для построения моделей вариационных принципов дает одновременно и естественные граничные условия.

В случае отсутствия касательных усилий на ограничивающих слоистую оболочку внешних поверхностях разрешающие уравнения движения ее в обобщенных перемещениях имеют вид [1, 2]

$$(A - B)\bar{u} + \varepsilon^{-2}\bar{p} = 0, \quad (1)$$

$$\bar{Q} \delta \bar{u} |_{\Gamma} = 0, \quad (2)$$

где A - кинематическая матрица-оператор, B - матрица-оператор инерции, \bar{u} , \bar{p} - векторы обобщенных перемещений и внешней поверхностной нагрузки (здесь отличен от нуля только параметр нормальной нагрузки $\varepsilon^{-2}\bar{p}$; \bar{Q} , $\delta \bar{u}$ - соответственно векторы обобщенных усилий и вариаций обобщенных перемещений на Γ -линии, ограничивающей отсчетную (срединную среднего слоя) поверхность пологой оболочки.

Краевая задача (1) и (2) в общем случае нелинейная, общий порядок системы (1) равен двенадцати и не зависит от числа слоев и их расположения. В отличие от классических моделей, сдвиговые деформации и напряжения определяются естественным образом через соответствующие соотношения упругости, приведенные в [1].

Используем сначала систему (1) и (2) для исследования поведения трехслойной цилиндрической композитной оболочки под воздей-

ствием сверхзвукового потока газа по направлению образующей с невозмущенной скоростью U . Нормальная составляющая скорости при этом будет $u = W'_t + U W'_{x_1}$, избыточное давление, соответствующее "поршневой" теории [4], в первом приближении

$$p = (p_0 \varepsilon / c_0) \left(\frac{\partial W}{\partial t} + U \frac{\partial W}{\partial x_1} \right),$$

где p_0 , c_0 , ε - известные величины. Нормальная нагрузка p_0 , входящая в исходную систему (I), согласно [5], имеет вид

$$\varepsilon^{-2} Z = -2\rho R^2 \varepsilon \frac{\partial W}{\partial t} - \varepsilon^{-1} \varepsilon p_0 \left(\frac{R}{c_0} \frac{\partial W}{\partial t} + M \frac{\partial W}{\partial \xi_1} \right), \quad (3)$$

здесь ε^0 - коэффициент затухания, ρ - средняя плотность материала оболочки, H - полная толщина трехслойного цилиндра, $M = U/c_0$, R - радиус срединной поверхности, $\xi_1 = x_1/R$ - безразмерная координата вдоль образующей цилиндра, $\varepsilon = H/R$. С учетом выражения (3) система уравнений (I) может описывать как статический процесс устойчивости пологой оболочки (дивергенция), так и колебательный вид наступления неустойчивости (флаттер).

При решении задачи аэродинамической устойчивости обычно исходят из линейной системы уравнений и принимают искомые функции в виде [5]

$$\{u_j, \alpha_j, w\} = \{iA_j, iA_{j+2}, A_5\} \exp[i(\omega t - \theta \xi_1 - n \xi_2)], \quad (4)$$

где A_s ($s = \overline{1, 5}$) - некоторые комплексные коэффициенты, ω - комплексная частота колебаний оболочки, $\theta = \pi R/\lambda$, $\lambda = L/m$ - длина полуволны в направлении образующей, n - целое число волн по окружности, $\xi_i = x_i/R$ ($i = \overline{1, 2}$) - безразмерные координаты, t - параметр времени, i - мнимая единица. Подстановка аппроксимаций (4) в исходную линейризованную систему, полученную из (I), приводит к алгебраической системе уравнений относительно амплитудных значений A_s , из которой получаем

$$(1 + \varepsilon^2 \mathcal{D}_0^*) \omega^2 - i\omega(2\varepsilon + \mu) - \bar{M}/\rho R^2 \bar{M}_{01} + i\mu k U = 0, \quad (5)$$

где $k = \pi/\lambda$; $\mu = \varepsilon p_0/\rho H c_0$; \mathcal{D}_0^* - структурно-геометрический параметр от изгибных сил инерции; \bar{M} , \bar{M}_{01} - определители, элементы которых содержат жесткостные и геометрические характеристики оболочки [1, 2].

Из выражений (4) видно, что характер движения оболочки определяется по ее частоте колебаний ω , которая находится из уравнений (5) при заданных параметрах нагружения, физических и геометрических параметрах. Если мнимая часть ω положительна, то исходная оболочка будет устойчива по отношению к малым возмущениям. Критическую скорость потока, при которой наблюдается переход к неустойчивым формам движения с нарастающей амплитудой, определим из условия $\operatorname{Im} \omega = 0$. Это условие приводит к двум равенствам

$$(1 + \varepsilon^2 \mathcal{D}_0^*) \omega_1^2 - \bar{M} / \rho R^2 M_{01} = 0, \quad (6)$$

$$\mu k U^* = \omega_1 (2 \dot{\varepsilon} + \mu).$$

Из первого соотношения находим частоту ω_1 собственных колебаний оболочки, а для критической скорости U^* флаттера получим

$$U^*/c = \frac{\eta}{2} [\bar{M} / (1 + \varepsilon^2 \mathcal{D}_0^*) \bar{M}_{01}]^{\frac{1}{2}} (1 + 2 \dot{\varepsilon} / \mu), \quad (7)$$

где $c = \sqrt{E_0 / \rho}$ - скорость звука в материале оболочки, $\eta = \theta / \mu$. Минимизируя выражение (8) по η и μ , найдем окончательно значение относительной критической скорости автоколебаний слоистой оболочки.

В качестве примера расчета по формуле (8) рассмотрим оболочку со следующими параметрами: $\dot{\varepsilon} = 0,05$; $k_{01} = k_{02} = 0,25$; $k_{03} = 0,5$; $k_{03} = k_3 / H$, k_3 ($S = 1, 2, 3$) - толщина слоев, $H = k_1 + k_2 + k_3$. Структура оболочки по слоям принята следующей:

Слой	Вариант 1	Вариант 2	Вариант 3
	кривая 1, рис. I	кривая 2, рис. I	рис. 2
1	$0, 0, \Omega_0/2, \Omega_0/2$	$\Omega_0, 0, 0, 0$	$\Omega_0, 0, 0, 0$
2	$0, \Omega_0, 0, 0$	$0, 0, \Omega_0/2, \Omega_0/2$	$0, \Omega_0, 0, 0$
3	$\Omega_0, 0, 0, 0$	$0, \Omega_0, 0, 0$	$0, 0, \Omega_0/2, \Omega_0/2$

Здесь в строках каждого варианта приведены значения ω_{kk}^s ($k=1, 4$) соответственно $\omega_{kk}^{(s)} = \omega_k^{(s)} E / E_0$. Кроме того, использовано условие [2] $\sum_s k_{0s} \Omega_{0s} = \Omega_0$, где $\Omega_{0s} = \sum_k \omega_{kk}^{(s)}$, $\Omega_0 = \hat{c}_0 E / E_0$, $\omega_a^{(s)} = \sum_k \omega_k^{(s)}$, E , E_0 - модули Юнга армирующих элементов и

связующего, \hat{c}_0 - общее объемное содержание наполнителя в пакете оболочки, $\omega_a^{(s)}$ - объемное содержание армирующих элементов в s -м слое. Приведенное условие дает возможность варьирования структурными параметрами в слоях с целью выбора наилучшего проекта трех - слойной оболочки под заданный спектр нагружения (в данном случае максимизирующее величину U^*/c).

На рисунках 1 и 2 приведены зависимости U^*/c от угла наклона косых семейств армирования в слое $\chi^{(s)}$ ($s = 1, 2, 3$) для $\Omega_0 = 24$ (сплошные линии) - армирование стекловолокном и $\Omega_0 = 96$ (пунктирные линии) - армирование нитями бора или углеволокном. Результаты вычислений показывают, что варьированием только углом укладки нитей косых семейств в слоях можно значительно увеличить критическую скорость потока, причем наибольший эффект достигается при армировании высокомодульными волокнами. С уменьшением параметра η (ростом n) максимальное значение $U^*(\chi)$ смещается в сторону больших значений угла $\chi^{(3)}$, как и при определении частот собственных колебаний такой оболочки [1], при этом эффект от изменения жесткостей в среднем слое снижается (см. рис.1).

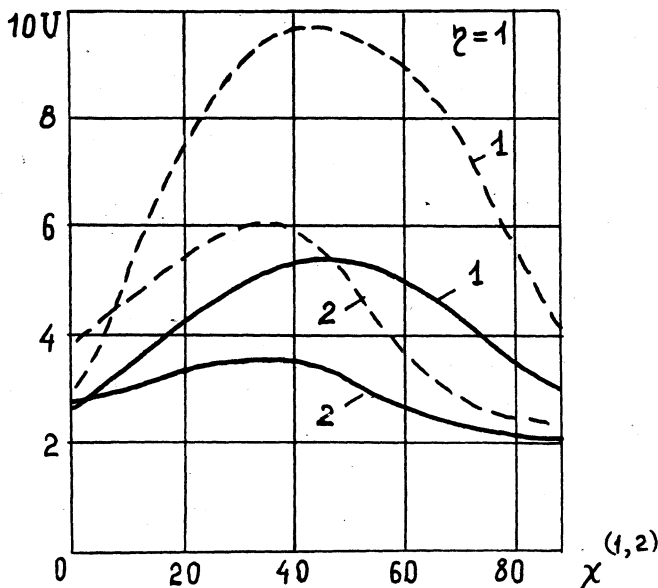


Рис. 1

Заметим, что в отличие от результатов настоящей работы для несимметричных форм неустойчивости в [5] приведены примеры только для симметричных форм потери устойчивости ($\eta = 0$), и критическая скорость принимает максимальное значение, когда главные направления упругости материала оболочки совпадают с главными геометрическими направлениями. Поэтому для полного исследования задачи необходимо рассматривать обе формы неустойчивости и анализировать получаемые результаты для окончательных практических рекомендаций.

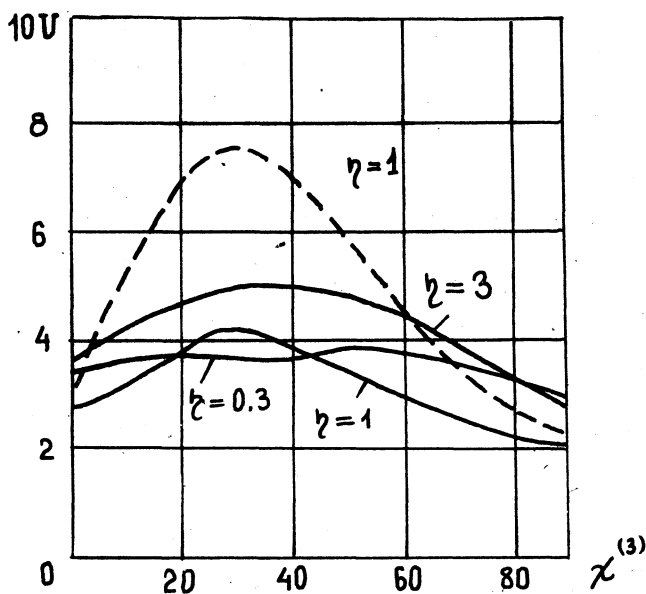


Рис. 2

Воспользуемся теперь системой (I) для рассмотрения процесса выпучивания цилиндрической оболочки из композитного материала под действием аperiодического динамического воздействия, которым могут быть осевое сжатие или боковое давление, либо то и другое одновременно. Используя процедуру решения задачи (I) и (2) по [2], приходим к разрешающей системе обыкновенных дифференциальных уравнений относительно амплитудных коэффициентов нормального прогиба трехслойной оболочки

$$\zeta_1(1 - a_0 t_*) - a_1 \zeta_1 \zeta_2 + a_2 \zeta_1 \zeta_2^2 + a_3 \zeta_1^3 + \frac{1}{S} \frac{d^2 \zeta_1}{dt_*^2} = 0, \quad (8)$$

$$\zeta_2(a_4 - a_5 t_*) - a_6 \zeta_2^2 - a_7 \zeta_1^2 + a_8 \zeta_2 \zeta_1^2 + a_9 \zeta_2^3 + \frac{6E^{-1}}{S} \frac{d^2 \zeta_2}{dt_*^2} = 0.$$

Здесь ζ_1 и ζ_2 безразмерные амплитудные значения; a_0, a_1, \dots, a_9 - коэффициенты, содержащие физические и геометрические параметры оболочки [2]; $t_* = st/\lambda_0$ - безразмерный параметр времени; $S = (cE_0)^2 n^4 \lambda_0^2 \bar{M} / (SR)^2 M_{01}$, S - скорость нарастания внешней нагрузки, λ_0 - параметр минимальной верхней критической нагрузки, полученный из решения линейной статической задачи.

Исследование процесса выпучивания (нелинейных колебаний) цилиндрической трехслойной оболочки здесь проводится для следующего процесса нагружения:

$$\text{I. } t_*, \quad 0 \leq t_* \leq t_*^0 = st_0/\lambda_0,$$

$$\lambda/\lambda_0 = \text{II. } t_*^0, \quad t_* \geq t_*^0, \quad (9)$$

$$\text{III. } t_*^0(1 + \frac{S_1}{S}) - S_1 \frac{t_*}{S}, \quad t_*^0 \leq t_* \leq (1 + \frac{S}{S_1}) t_*^0,$$

где S_1 - скорость падения нагрузки на последнем этапе нагружения. Последнее ограничение по времени (9) соответствует нулевому значению внешнего воздействия. Поведение оболочки в период нарастания нагрузки со скоростью S или в период падения ее скоростью S_1 характеризуется, например, величиной максимального параметра прогиба ζ_1 [7]. Считаем, что неустойчивость оболочки наступает в тот период, если стрела максимального прогиба превышает статический прогиб, отвечающий наибольшему значению внешнего воздействия. Другие авторы, например [8], считают опасной такую нагрузку, при которой интенсивность напряжений достигает предельной величины.

Таким образом, при решении задачи о динамическом поведении трехслойной композитной оболочки будем исходить из системы (8) с программой нагружения по (9). Система была проинтегрирована численным методом Рунге - Кутты с начальными условиями $\zeta_1 = \zeta_2 = 10^{-3}$ и $\dot{\zeta}_1 = \dot{\zeta}_2 = 0$ при $t_* = 0$. В других случаях можно задавать скорости прогиба в начальный момент, полагая прогибы равными ну-

лю. Для рассмотренных здесь скоростей нагружения S и S_1 такая замена начальных данных не сказывалась существенно на процессе динамического поведения оболочки.

Так, на рисунках 3, 4 приведены кривые зависимостей $\varepsilon_1(t_*)$ для случая нагружения (9) трехслойного цилиндра динамическим осевым сжатием ($t_1^0 = 1$, $t_2^0 = 0$, t_1^0 , t_2^0 - безразмерные параметры осевого и бокового давлений соответственно) со скоростью нагружения $S = 10^4$ ат/сек (рис.3). Структура оболочки соответствует ва-

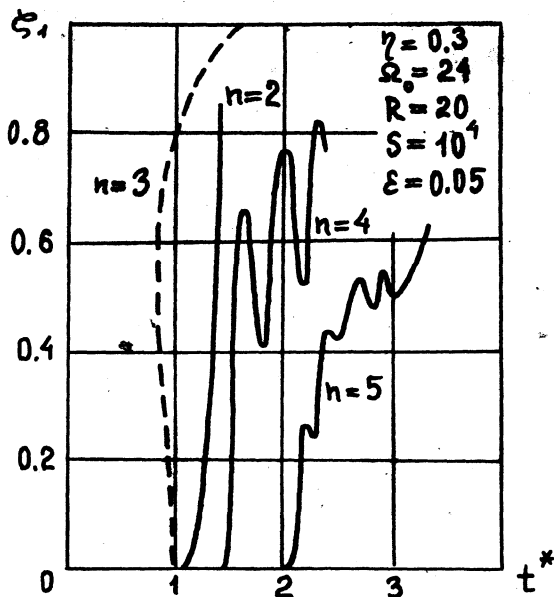


Рис. 3

рианту 3, рис.2. В расчетах также принималось: модуль Юнга связующего $E_0 = 4,2 \cdot 10^4$ кг/см², скорость звука в материале оболочки $c = 10^4$ см/сек, $\varepsilon = H/R = 0,05$; $k_{01} = k_{02} = 0,25$; $k_{03} = 0,5$; $\eta = mR/nL = 0,3 + 3$; $G^* = G^0/E_0 = 0,3$. Числовые значения других параметров, а также параметра волнообразования в окружном направлении n , при котором начинается быстрый рост амплитуды прогиба ε_1 при минимальном t_* (t_* - отношение текущей нагрузки к минимальному значению критической статической величины), указаны на приводимых рисунках. Пунктирными линиями соответствуют решения нелинейной статической задачи по формуле [6]. Как

видно из рисунков 3 и 4, динамическое поведение характеризуется возрастанием коэффициента динамичности с ростом n и уменьшением амплитуды "процедкивания" ζ_1 к новому состоянию с ростом S ;

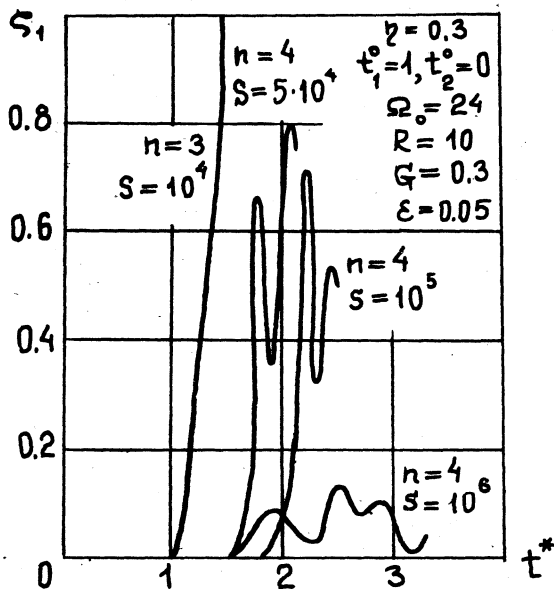


Рис. 4

уменьшение комбинированного параметра волнообразования η и рост параметра R приводят к росту коэффициента динамичности и амплитуды ζ_1 . Аналогичная картина наблюдается и при нагружении трех-слойного цилиндра всесторонним динамическим давлением ($t_1^0 = 0,5$, $t_2^0 = 1$), однако характер волнообразования в этом случае ближе к статическому. Перестановка местами верхнего и нижнего слоев приводит здесь только к изменению статической кривой: оболочка становится как бы более "чувствительной" к послекритическому деформированию [2]. При увеличении на начальном участке скоростей нагружения увеличивается число волн m и n , при которых начинается быстрый рост амплитуды ζ_1 и при этом растет существенно коэффициент динамичности.

Таким образом, используемая здесь расчетная модель оболочки и предложенная методика ее реализации позволяют всесторонне исследовать процесс статического и динамического поведения слоистой

оболочки для широкого диапазона изменений многочисленных структурных параметров, выявить особенности ее деформирования и тем самым дать возможность целенаправленного проектирования оболочки под заданный спектр нагрузок.

Л и т е р а т у р а

1. Самсонов В.И. Динамическая устойчивость слоистых оболочек из композитного материала // Численные методы решения задач теории упругости и пластичности: Материалы IX Всесоюзной конференции. Новосибирск, 1986. - С.262 - 272.

2. Немировский Ю.В., Самсонов В.И. Устойчивость слоистых композитных оболочек при динамическом нагружении // Устойчивость в механике деформируемого твердого тела: Материалы 2-го Всесоюзного симпозиума. Калинин, 1986. - С.138 - 143.

3. Андреев А.Н., Немировский Ю.В. К теории упругости многослойных анизотропных оболочек // Известия АН СССР, МТТ. - 1977. - № 5. - С.87 - 96.

4. Ильюшин А.А. Закон плоских сечений в аэродинамике больших сверхзвуковых скоростей // ПММ. - 1956. - Т.20. - № 6. - С.733 - 755.

5. Амбарцумян С.А. Общая теория анизотропных оболочек. - М.: Наука, 1974. - 446 с.

6. Самсонов В.И., Хакимов Э.М. Влияние формы импульса на устойчивость трехслойных композитных цилиндров // Численные методы решения задач теории упругости и пластичности: Материалы X Всесоюзной конференции. Новосибирск, 1988. - С.251-257.

7. Вольмир А.С. Нелинейная динамика пластинок и оболочек. - М.: Наука, 1972. - 432 с.

8. Богданович А.Е. Нелинейные задачи динамики цилиндрических композитных оболочек. - Рига: Зинатне, 1987. - 295 с.